

ВІСНИК

ОДЕСЬКОГО
НАЦІОНАЛЬНОГО
МОРСЬКОГО
УНІВЕРСИТЕТУ

21

Міністерство освіти і науки України



BІСНИК

ОДЕСЬКОГО НАЦІОНАЛЬНОГО
МОРСЬКОГО УНІВЕРСИТЕТУ

Збірник наукових праць

ВИПУСК 21

Заснований у 1998 році

Одеса – 2007

УДК 539.3

**В.Ф. Оробей
Н.Г. Сурьянинов
А.М. Лимаренко**

КРУТИЛЬНЫЕ КОЛЕБАНИЯ КОНСТРУКЦИЙ ИЗ ТОНКОСТЕННЫХ СТЕРЖНЕЙ

Приведены решения задач Коши крутильных колебаний тонкостенных стержней с учетом всех членов уравнения В.З. Власова. Показано применение этих решений для задач динамики крутильных колебаний тонкостенных стержневых систем по алгоритму метода граничных элементов. Результаты решений приведены в численной и визуальных формах.

Ключевые слова: *Matlab, метод граничных элементов, тонкостенный стержень, численные методы, крутильные колебания.*

Уравнение и параметры крутильных колебаний прямолинейного тонкостенного стержня открытого профиля с двумя осями симметрии имеют вид [1]

$$EI_{\omega} \frac{\partial^4 \bar{\theta}(x,t)}{\partial x^4} - GI_{kp} \frac{\partial^2 \bar{\theta}(x,t)}{\partial x^2} - \rho I_{\omega} \frac{\partial^4 \bar{\theta}(x,t)}{\partial z^2 \partial t^2} + \rho (I_z + I_y) \frac{\partial^2 \bar{\theta}(x,t)}{\partial t^2} = \overline{m}_A(x,t),$$

где $GI_{kp} \bar{\theta}(x,t)$ – динамический угол поворота сечения стержня в масштабе крутильной жесткости вокруг центра изгиба, совпадающего в этом случае с центром тяжести сечения;

$GI_{kp} \bar{\theta}'(x,t) = \overline{M}_{kp}(x,t)$ – динамический крутящий момент в сечении, возникающий от неравномерного распределения по толщине стенок касательных напряжений;

$EI_{\omega} \bar{\theta}''(x,t) = -\overline{B}_{\omega}(x,t)$ – динамический бимомент, вызванный нормальными напряжениями от депланации сечения;

$EI_{\omega} \bar{\theta}'''(x,t) = -\overline{M}_{\omega}(x,t)$ – динамический изгибно-крутящий момент, вызванный осевыми сдвигающими силами, действующими по касательной к дуге контура сечения;

$$\overline{L}(x,t) = \overline{M}_{\omega}(x,t) + \overline{M}_{kp}(x,t) = -EI_{\omega} \bar{\theta}'''(x,t) + GI_{kp} \bar{\theta}'(x,t) –$$

полный крутящий момент относительно центра изгиба.

Теория, строительная механика и проектирование корабля

В данном уравнении третье слагаемое учитывает инерционные силы от продольных секториальных перемещений точек стержня. Рассмотрим гармонические колебания, для которых можно применить метод Фурье разделения переменных следующим образом:

$$\bar{\theta}(x,t) = \theta(x)\sin \lambda t; \quad \bar{m}(x,t) = m(x)\sin \lambda t,$$

где λ – частота гармонических колебаний.

Если подставить последние соотношения в уравнение колебаний и выражения для параметров, то получим исходные данные для задачи Коши крутильных колебаний тонкостенного стержня с двумя осями симметрии в амплитудном состоянии

$$\theta''''(x) + 2r^2\theta''(x) - s^4\theta(x) = \frac{k^2 m(x)}{GI_{kp}}; \quad (1)$$

$$GI_{kp}\theta(x); \quad GI_{kp}\theta'(x); \quad B_\omega(x) = -\frac{GI_{kp}}{k^2}\theta''(x); \quad M_\omega(x) = -\frac{GI_{kp}}{k^2}\theta'''(x),$$

$$\text{где } r^2 = \left(\frac{\rho\lambda^2}{E} - k^2 \right)/2; \quad s^4 = \frac{\rho\lambda^2(I_z + I_y)}{EI_\omega};$$

$$k^2 = \frac{GI_{kp}}{EI_\omega} \text{ – изгибно-крутильная характеристика.}$$

По стандартному алгоритму [2] решение задачи Коши крутильных колебаний представлена следующим образом:

$GI_{kp}\theta(x)$	A_{11}	A_{12}	$-A_{13}$	$-A_{14}$	$GI_{kp}\theta(0)$	$A_{14}(x-\xi)$	$m(\xi)d\xi \cdot (2)$
$GI_{kp}\theta'(x)$	A_{21}	A_{11}	$-A_{23}$	$-A_{13}$	$GI_{kp}\theta'(0)$	$A_{13}(x-\xi)$	
$B_\omega(x)$	$-A_{31}$	$-A_{32}$	A_{33}	A_{34}	$B_\omega(0)$	$-A_{34}(x-\xi)$	
$M_\omega(x)$	$-A_{41}$	$-A_{31}$	A_{43}	A_{33}	$M_\omega(0)$	$-A_{33}(x-\xi)$	

где фундаментальные ортонормированные функции имеют вид

$$A_{11} = \frac{\beta^2 ch\alpha x + \alpha^2 \cos \beta x}{\alpha^2 + \beta^2}; \quad A_{12} = \frac{\beta^3 sh\alpha x + \alpha^3 \sin \beta x}{\alpha\beta(\alpha^2 + \beta^2)},$$

$$A_{13} = \frac{k^2(ch\alpha x - \cos \beta x)}{\alpha^2 + \beta^2}; \quad A_{14} = \frac{k^2(sh\alpha x - \sin \beta x)}{\alpha\beta(\alpha^2 + \beta^2)}; \quad A_{21} = \left(\frac{\alpha\beta}{k} \right)^2 \cdot A_{14},$$

Теория, строительная механика и проектирование корабля

$$A_{23} = \frac{k^2(\alpha sh\alpha x + \beta \sin \beta x)}{\alpha^2 + \beta^2};$$

$$A_{31} = \frac{(\alpha\beta)^2}{k^4} \cdot A_{13}; \quad A_{32} = \frac{\alpha\beta^2 sh\alpha x - \alpha^2 \beta \sin \beta x}{k^2(\alpha^2 + \beta^2)} = \frac{(\alpha\beta)^2}{k^4} \cdot A_{14}; \quad (3)$$

$$A_{33} = \frac{\alpha^2 ch\alpha x + \beta^2 \cos \beta x}{\alpha^2 + \beta^2}; \quad A_{34} = \frac{\alpha sh\alpha x + \beta \sin \beta x}{\alpha^2 + \beta^2} = \frac{A_{23}}{k^2};$$

$$A_{41} = \left(\frac{\alpha\beta}{k} \right)^2 \frac{\alpha sh\alpha x + \beta \sin \beta x}{\alpha^2 + \beta^2} = \frac{(\alpha\beta)^2}{k^4} \cdot A_{23}; \quad A_{43} = \frac{\alpha^3 sh\alpha x - \beta^3 \sin \beta x}{\alpha^2 + \beta^2}.$$

Элементы матрицы нагрузки запишутся следующим образом:

$$B_{11}(x) = B_\omega \cdot A_{13}(x - a_1)_+ + M_{kp} \cdot A_{14}(x - a_2)_+ + m \cdot [A_{15}(x - a_3)_+ - A_{15}(x - a_4)_+];$$

$$B_{21}(x) = B_\omega \cdot A_{23}(x - a_1)_+ + M_{kp} \cdot A_{13}(x - a_2)_+ + m \cdot [A_{14}(x - a_3)_+ - A_{14}(x - a_4)_+];$$

$$B_{31}(x) = B_\omega \cdot A_{33}(x - a_1)_+ + M_{kp} \cdot A_{34}(x - a_2)_+ + m \cdot [A_{13}(x - a_3)_+ - A_{13}(x - a_4)_+] / k^2; \quad (4)$$

$$B_{41}(x) = B_\omega \cdot A_{43}(x - a_1)_+ + M_{kp} \cdot A_{33}(x - a_2)_+ + m \cdot [A_{34}(x - a_3)_+ - A_{34}(x - a_4)_+];$$

$$A_{15} = \frac{k^2 [\beta^2 (ch\alpha x - H(\alpha x)) + \alpha^2 (\cos \beta x - H(\beta x))]}{(\alpha\beta)^2 (\alpha^2 + \beta^2)},$$

где B_ω – сосредоточенный бимомент; M_{kp} – сосредоточенный крутящий момент; m – распределенный крутящий момент.

Рассмотрим тонкостенные конструкции с двутавровым сечением.
Геометрические параметры сечения следующие:

$$I_z = 68479,33 \text{ cm}^4; \quad I_y = 4504,83 \text{ cm}^4; \quad I_\omega = 3,91 \cdot 10^6 \text{ cm}^6;$$

$$I_{kp} = 39,792 \text{ cm}^4; \quad A = 118,0 \text{ cm}^2.$$

$$\text{Модули упругости } E = 2 \cdot 10^4 \frac{kH}{cm^2}; \quad G = 0,4E = 0,8 \cdot 10^4 \frac{kH}{cm^2}.$$

Плотность материала стержня $\rho = 7800 \frac{\text{кг}}{\text{м}^3}$, длина стержня

$l = 10\text{м}$. Изгибно-крутильная характеристика сечения $k = 0,20176\text{м}^{-1}$.

Уравнение крутильных колебаний (2) позволяет решать по алгоритму МГЭ задачи динамики упругих конструкций любой структуры, включая неразрезные балки и рамы. В качестве примера рассмотрим задачи динамики неразрезной балки по рис. 1.

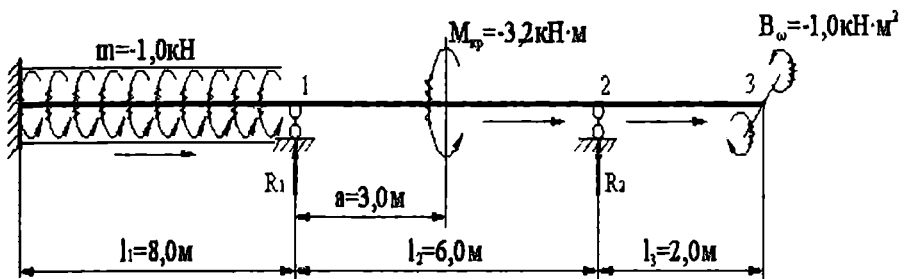


Рис.1. Расчетная схема неразрезной балки

Балка имеет поперечное сечение двутавра и нагружена динамической крутящей нагрузкой. Разбиваем ее на три стержня, нумеруем узлы и стрелками указываем начало и конец каждого элемента.

Матрицы X_*, Y, B с учетом краевых условий, уравнений связи между граничными параметрами в узлах и заданной нагрузки запишутся следующим образом:

1	$GI_{kp}\theta_{(l)}^{0-1} = 0; M_{\omega}^{0-1}(l)$	$GI_{kp}\theta_{(l)}^{0-1} = 0$	$-B_{11}^{0-1}(l)$
2	$GI_{kp}\theta_{(0)}^{0-1} = 0; M_{\omega}^{1-2}(l)$	$GI_{kp}\theta_{(0)}^{0-1} = GI_{kp}\theta_{(0)}^{1-2}$	$-B_{21}^{0-1}(l)$
3	$B_{\omega}^{0-1}(0)$	$B_{\omega}^{0-1}(l) = B_{\omega}^{1-2}(0)$	$B_{31}^{0-1}(l)$
4	$M_{\omega}^{0-1}(0)$	$M_{\omega}^{0-1}(l)$	$B_{41}^{0-1}(l)$
5	$GI_{kp}\theta_{(0)}^{1-2} = 0; GI_{kp}\theta_{(l)}^{2-3}(l)$	$GI_{kp}\theta_{(l)}^{1-2} = 0$	$-B_{11}^{1-2}(l)$
6	$GI_{kp}\theta_{(0)}^{1-2}$	$GI_{kp}\theta_{(0)}^{1-2} = GI_{kp}\theta_{(0)}^{2-3}$	$-B_{21}^{1-2}(l)$
7	$B_{\omega}^{1-2}(0)$	$B_{\omega}^{1-2}(l) = B_{\omega}^{2-3}(0)$	$B_{31}^{1-2}(l)$
8	$M_{\omega}^{1-2}(0)$	$M_{\omega}^{1-2}(l)$	$B_{41}^{1-2}(l)$
9	$GI_{kp}\theta_{(0)}^{2-3} = 0; GI_{kp}\theta_{(l)}^{2-3}$	$GI_{kp}\theta_{(l)}^{2-3}$	$-B_{11}^{2-3}(l)$
10	$GI_{kp}\theta_{(0)}^{2-3}$	$GI_{kp}\theta_{(l)}^{2-3}$	$-B_{21}^{2-3}(l)$
11	$B_{\omega}^{2-3}(0)$	$B_{\omega}^{2-3}(l) = 0$	$B_{31}^{2-3}(l)$
12	$M_{\omega}^{2-3}(0)$	$L_{(l)}^{2-3} = 0 \rightarrow M_{\omega}^{2-3}(l) = -GI_{kp}\theta_{(l)}^{2-3}$	$B_{41}^{2-3}(l)$

Теория, строительная механика и проектирование корабля

Из матрицы X_* видно, что в матрице A_* нужно обнулить 1, 2, 5 и 9 столбцы. На место нулевых строк матрицы X_* переносят независимые граничные параметры

$$M_{\omega}^{0-1}(l), M_{\omega}^{1-2}(l), GI_{kp}\theta^{2-3}(l) u GI_{kp}\theta^{1-2-3}(l).$$

Зависимые параметры также переносятся в матрицу X_* путем введения соответствующих компенсирующих элементов в матрицу A_* . Матричное уравнение МГЭ краевой задачи балки представит в виде

1	2	3	4	5	6	7	8	9	10	11	12			
1			$-A_{13}$	$-A_{14}$								$M_{\omega}^{0-1}(l)$	$-B_{11}^{0-1}(l)$	
2			$-A_{23}$	$-A_{13}$	-1							$M_{\omega}^{1-2}(l)$	$-B_{21}^{0-1}(l)$	
3			A_{33}	A_{34}		-1						$B_{\omega}^{0-1}(0)$	$B_{31}^{0-1}(l)$	
4	-1		A_{43}	A_{33}								$M_{\omega}^{0-1}(0)$	$B_{41}^{0-1}(l)$	
5					A_{12}	$-A_{13}$	$-A_{14}$					$GI_{kp}\theta_{(1)}^{2-3}$	$-B_{11}^{1-2}(l)$	
6					A_{11}	$-A_{23}$	$-A_{13}$		-1			$GI_{kp}\theta_{(0)}^{2-2}$	$-B_{21}^{1-2}(l)$	
7					$-A_{32}$	A_{33}	A_{34}			-1		$B_{\omega}^{1-2}(0)$	$B_{31}^{1-2}(l)$	
8		-1			$-A_{31}$	A_{43}	A_{33}					$M_{\omega}^{1-2}(0)$	$B_{41}^{1-2}(l)$	
9				-1				A_{12}	$-A_{13}$	$-A_{14}$		$GI_{kp}\theta_{(1)}^{2-1}$	$-B_{11}^{2-1}(l)$	
10								-1	A_{11}	$-A_{23}$	$-A_{13}$	$GI_{kp}\theta_{(0)}^{2-1}$	$-B_{21}^{2-1}(l)$	
11									$-A_{32}$	A_{33}	A_{34}	$B_{\omega}^{2-3}(0)$	$B_{31}^{2-3}(l)$	
12									1	$-A_{31}$	A_{43}	A_{33}	$M_{\omega}^{2-3}(0)$	$B_{41}^{2-3}(l)$

Частоты балки (рис. 1) определяют из уравнения $|A_*(\omega)| = 0$, а формы собственных крутильных колебаний строятся по уравнению метода начальных параметров. Для краевой задачи в форме (6) оно примет вид

$$GI_{kp}\theta(x) = -X(1,3) \cdot A_{13}(x) - X(4,1) \cdot A_{14}(x) - R_1 \cdot A_{14}(x - l_1)_+ - R_2 \cdot A_{14}(x - l_1 - l_2)_+, \quad (7)$$

где реакции опор определяются соотношениями:

$$R_1 = -M_{\omega}^{0-1}(l) + M_{\omega}^{1-2}(0) = -X(1,1) + X(8,1); \quad (8)$$

$$R_2 = -M_{\omega}^{1-2}(l) + M_{\omega}^{2-3}(0) = -X(2,1) + X(12,1),$$

а символ «+» в фундаментальных функциях обозначает сплайн-функцию соответствующего аргумента [2]. Поиск частот собственных крутильных колебаний балки привел к следующим значениям:

$$\theta_1 = 3,0510 \text{ } c^{-1}; \theta_2 = 4,2510 \text{ } c^{-1}; \theta_3 = 7,6510 \text{ } c^{-1}; \\ \theta_4 = 10,4510 \text{ } c^{-1}; \theta_5 = 16,6510 \text{ } c^{-1} \text{ и т.д.}$$
(9)

На рис. 2 представлена первая форма колебаний при условии, что

$$GI_{kp}\theta^{2-3}(l) = X(5,1) = 1.$$

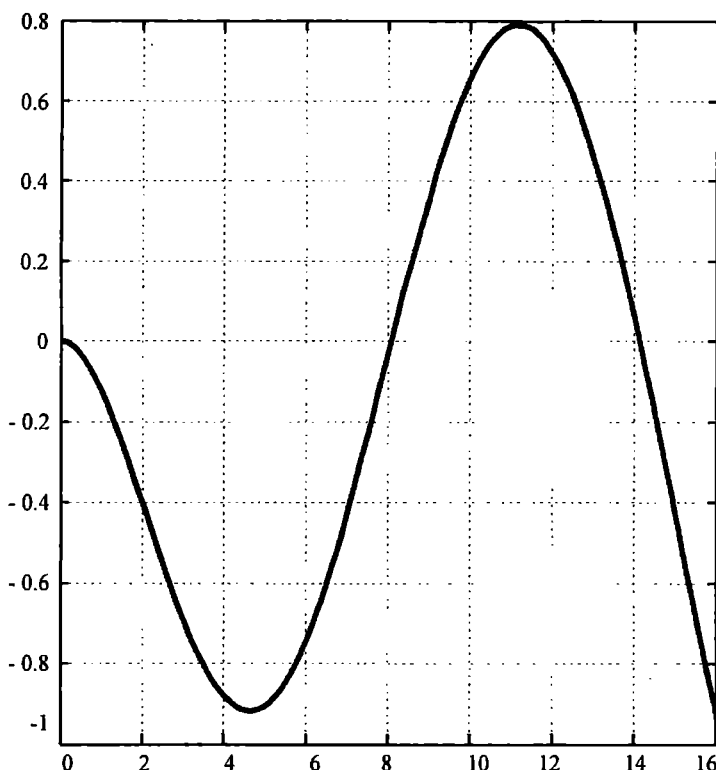
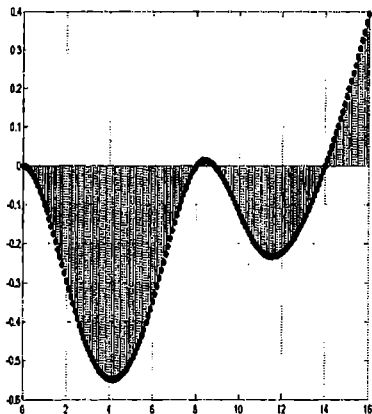
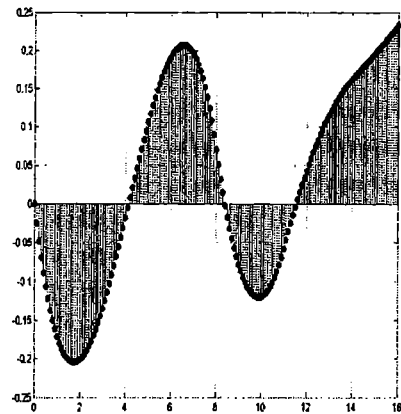


Рис.2. Первая форма колебаний неразрезной балки

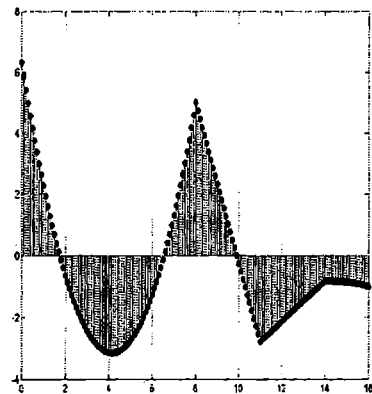
Определение напряженно-деформированного состояния балки при вынужденных колебаниях выполняется после решения уравнения (6). Границные параметры вектора X_* и уравнения задачи Коши (2) позволяют решить данную задачу. Численные значения параметров кручения представлены в таблице, а соответствующие эпюры при частоте вынужденных колебаний $\theta = 0,5\theta_1$ показаны на рис. 3.



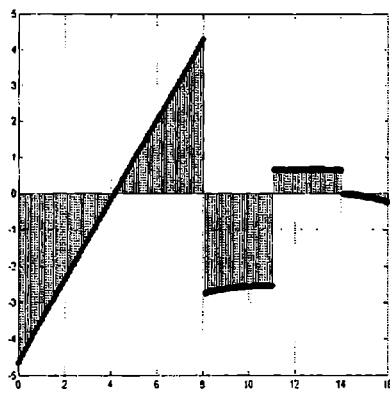
a)



б)



в)



г)

Рис.3. Эпюра:

а – динамических углов поворота $GI_{kp}\theta(x), \text{kNm}^2$;

б – динамических крутящих моментов $GI_{kp}\theta'(x), \text{kNm}$;

в – динамических изгибино-крутящих моментов $M_\omega(x), \text{kNm}$;

г – динамических бимоментов $B_\omega(x), \text{kNm}^2$

Теория, строительная механика и проектирование корабля

Таблица

Численные значения параметров кручения неразрезной балки

Координата $x, м$	Угол закручивания $GI_{kp}\theta(x), кНм^2$	Производная (крутящий момент) $GI_{kp}\theta'(x), кНм$	Бимомент $B_o(x), кНм^2$	Изгибно- крутящий момент $M_o(x), кНм$	Полный крутящий момент $L(x), кНм$
0,0	0,0	0,0	6,33	-4,65	-4,65
1,0	-0,10	-0,17	2,28	-3,47	-3,64
2,0	-0,30	-0,20	-0,63	-2,36	-2,56
3,0	-0,47	-0,13	-2,44	-1,26	-1,40
4,0	-0,55	-0,02	-3,15	-0,16	-0,18
5,0	-0,50	0,11	-2,76	0,94	1,04
6,0	-0,35	0,19	-1,28	2,03	2,22
7,0	-0,15	0,20	1,30	3,13	3,33
8,0	0,0	0,07	5,0	-2,76	-2,69
9,0	-0,01	-0,08	2,32	-2,62	-2,69
10,0	-0,12	-0,12	-0,25	-2,55	-2,67
11,0	-0,22	-0,06	-2,79	0,66	0,60
12,0	-0,22	0,04	-2,13	0,66	0,70
13,0	-0,14	0,12	-1,47	0,66	0,78
14,0	0,0	0,16	-0,81	-0,01	0,15
15,0	0,18	0,2	-0,85	-0,08	0,12
16,0	0,39	0,23	-0,0	-0,23	-0,00

Из представленных результатов видно, что с помощью алгоритма МГЭ на базе решений задачи Коши можно весьма эффективно решать разнообразные задачи динамики крутильных колебаний тонкостенных конструкций, которые широко распространены в различных объектах машиностроения, судостроения, авиастроения и строительства.

ЛИТЕРАТУРА

1. Власов В.З. Тонкостенные упругие стержни. – М.: Физматгиз, 1959. – 568 с.
2. Баженов В.А., Дащенко А.Ф., Коломиец Л.В., Оробей В.Ф. Строительная механика. Применение метода граничных элементов. – Одесса: Астропринт, 2001. – 288 с.

Надійшла 10.12.06